

## НОВИЙ МЕТОД ПІДСИЛЕННЯ СЕКРЕТНОСТІ ПІНГ-ПОНГ ПРОТОКОЛУ З ПАРАМИ ПЕРЕПЛУТАНИХ КУТРИТІВ

Запропоновано новий метод підсилення секретності пінг-понг протоколу з парами переплутаних кутритів, який дозволяє підвищити ефективність його роботи. Розроблено генератор тритових послідовностей, за допомогою якого формується тритова ключова послідовність, що використовується в методі підсилення секретності.

Ключові слова: квантова криптографія, пінг-понг протокол, стійкість протоколу, підсилення секретності, кутрит, генератор трійкових послідовностей.

**Вступ.** Внаслідок масової інформатизації збільшуються обсяги електронних інформаційних ресурсів, які потребують все більш досконалих методів захисту. Найбільш розповсюджені з них направлені на збереження конфіденційності та, здебільшого, забезпечуються криптографічними методами і засобами захисту. Проте, більшість традиційних криптографічних методів базується на складності вирішення певних математичних задач, які у зв'язку з швидким розвитком обчислювальних засобів (суперкомп'ютери, квантові комп'ютери, GRID-технології тощо) в майбутньому можуть бути розв'язані. Ймовірною альтернативою можуть бути методи квантової криптографії (КК), що є найбільш розвинутих напрямком квантової теорії інформації. Основна задача КК полягає у створенні каналу передачі інформації, абсолютна захищеність якого буде гарантуватись фундаментальними законами природи (квантової механіки), що дозволяють зафіксувати будь-яку спробу проникнення ззовні [1-3]. Однак, робота систем захисту інформації на базі квантових протоколів потребує не лише використання самих протоколів, а й паралельного використання засобів класичної криптографії та завадостійкого кодування, оскільки, не менш важливими є виправлення помилок та підсилення секретності [3].

Значний інтерес серед наукової спільноти викликають, зокрема, протоколи квантового прямого безпечного зв'язку (КПБЗ) [1, 2, 4, 5], характерною особливістю яких є відсутність будь-яких криптографічних перетворень (таким чином вирішена проблема розподілу ключів шифрування, що є дуже актуальною в традиційній криптографії). Одним із найпоширеніших методів КПБЗ є пінг-понг протокол [1, 6], який не потребує великого об'єму квантової пам'яті та може використовуватися в існуючих системах захисту інформації [7]. Однак, оригінальний варіант протоколу не зовсім придатний до практичного застосування в системах КК, так як не відповідає в повній мірі вимогам до сучасних систем зв'язку. З огляду на це, розроблено цілий ряд методів [2, 5, 6, 8] підвищення ефективності даного протоколу. Проте, їх не можна вважати досконалими, тому роботи, пов'язані з підвищенням ефективності пінг-понг протоколу, не втратили своєї актуальності.

**Метою** роботи є підвищення ефективності роботи пінг-понг протоколу з парами переплутаних кутритів. Під ефективністю, у даному випадку, будемо мати на увазі підвищення стійкості та швидкодії протоколу.

### 1. Метод підсилення безпеки пінг-понг протоколу з парами повністю переплутаних кутритів

Пінг-понг протокол має два режими роботи, а саме, режим передачі повідомлення та режим контролю підслуховування [1, 9, 10]. У якості кубітів у оригінальному варіанті пінг-понг протоколу використовуються фотони, максимально переплутані за їх поляризаційними ступенями свободи (стани Белла). Інформація кодується фазою переплутаних кубітів. Оскільки тільки один кубіт передається від відправника – Боба до приймача – Аліси (пінг), а потім назад від Аліси до Боба (понг), закодована інформація не може бути вилучена зміною стану цього одного кубіту. Декодування стає можливим лише при виконанні вимірювання в базисі Белла обох кубітів, що дозволяє визначити їх кореляцію один з одним. У режимі

контролю підслуховування легітимні користувачі аналізують рівень помилок, якщо цей рівень перевищує допустимий, то користувачі переривають сеанс зв'язку.

У початковому варіанті протоколу кожний кубіт, що передається (один з переплутаної пари), використовується для кодування одного класичного біту. На сьогодні, існують різні модифікації протоколу [2, 5, 6, 8], які, використовуючи квантове надщільне кодування та багатовимірні квантові системи – кудити (кутрити, кукварти і т.д.), дозволяють підвищити інформаційну місткість протоколу. Різні атаки, як на оригінальний пінг-понг протокол, так і на його вдосконалені варіанти, були розглянуті в ряді робіт [11-15]. Зокрема, була проаналізована атака з використанням допоміжних квантових систем (загальна некогерентна атака) на різні варіанти пінг-понг протоколу, в тому числі на протокол з парами кутритів [11]. За такої атаки Єва може одержати деяку кількість інформації, перш ніж її атака буде виявлена [11, 14, 15] – так звана асимптотична стійкість (недолік у порівнянні з абсолютно стійкими системами квантового розподілу ключів [4]).

У роботі [9] запропоновано неквантовий метод підсилення асимптотичної стійкості пінг-понг протоколу з парами повністю переплутаних кутритів, який полягає в наступному:

1) Перед передачею Аліса розбиває своє трійкове повідомлення розміром  $m$  на  $l$  блоків деякої фіксованої довжини  $r$ , які позначає як  $a_i$  ( $i = \overline{1, l}$ ).

2) Потім Аліса генерує для кожного  $a_i$  випадкову оборотну трійкову матрицю  $M_i$  розміру  $r \times r$ .

3) Після чого множенням матриці на блок даних утворює нове повідомлення:  $b_i = M_i a_i$ .

4) Отримані в результаті блоки  $b_i$  Аліса передає квантовим каналом з використанням пінг-понг протоколу, при цьому легітимні користувачі аналізують рівень помилок у режимі контролю підслуховування протоколу [9, 10, 16].

5) Якщо рівень помилок, проаналізований в п.4, не перевищує допустимий, то після завершення квантової передачі матриці  $M_i$  передаються Бобові звичайним (не квантовим) каналом.

6) Боб обертає отримані матриці.

7) Після чого Боб одержує вихідне повідомлення множенням оберненої матриці на отримане від Аліси квантовим каналом повідомлення:  $a_i = M_i^{-1} b_i$ .

Навіть якщо Єві вдалося би перехопити один (або більше) із блоків  $a_i$ , залишившись не виявленою, то, не знаючи використаних матриць  $M_i$ , вона не може встановити вихідні блоки  $a_i$ . Для забезпечення високого рівня стійкості, довжина блока  $r$  і відповідний розмір матриць  $M_i$  ( $r \times r$ ) повинен обиратися так, щоб імовірність успішної атаки Єви  $s$  після передачі одного блока  $a_i$  була нехтовно малою величиною. Значення параметрів  $r$  та  $s$  розраховуються згідно роботи [9].

Недоліком описаного методу підсилення секретності є те, що для передачі всього повідомлення генерується та використовується дуже велика кількість випадкових, оборотних над полем Галуа, тритових матриць, що потребує великих часових та ресурсних затрат. Для наглядного розуміння в табл. 1 наведено розмір тритових матриць в залежності від загального розміру повідомлення  $m$  та параметру  $r$ . З таблиці видно, що для передачі повідомлення розміром  $m$  квантовим каналом потрібно використовувати матриці загальним розміром  $r \cdot m$  тритів. Крім того, в роботі [9] взагалі не описано як саме генеруються тритові матриці, тому не можливо оцінити їх псевдовипадковість.

Для розуміння загальних розмірів даних в бітах переведемо загальний розмір з трійкової системи числення в двійкову: 100000000 тритів приблизно дорівнюють 20 МБ (якщо переводити кожні 20 тритів у 32 біти). Тому, загальний розмір матриць  $M_i$  при  $r = 28$

становитиме 560 МБ, які спочатку потрібно згенерувати, виконати множення  $M_i$  на  $a_i$ , потім передати класичним каналом, а наприкінці обернути та виділити з  $b_i - a_i$ , що займе занадто багато часу.

Загальний розмір матриць  $M_i$

Таблиця 1

	Загальний розмір повідомлення $m$ в тритах						
	100	1000	10000	100000	1000000	10000000	100000000
$r=4$	400	4000	40000	400000	4000000	40000000	400000000
$r=8$	832	8000	80000	800000	8000000	80000000	800000000
$r=12$	1296	12096	120096	1200096	12000096	120000096	1200000096
$r=16$	1792	16128	160000	1600000	16000000	160000000	1600000000
$r=20$	2000	20000	200000	2000000	20000000	200000000	2000000000
$r=24$	2880	24192	240192	2400192	24000192	240000192	2400000192
$r=28$	3136	28224	280672	2800448	28000560	280000112	2800000336

Пропонується використовувати замість матриць  $M_i$  розміром  $r \times r$  ключову трійкову послідовність  $k_i$  розміром  $r$ . Повідомлення  $b_i$  буде вираховуватись за формулою  $b_i = k_i + a_i$ , а  $a_i$  – за формулою  $a_i = b_i - k_i$ , де операції "+" та "-" – означають відповідно операції потритового додавання та віднімання за модулем 3. Ключова трійкова послідовність  $k_i$  буде вироблятися за допомогою генератора псевдовипадкових трійкових послідовностей, та 96-тритового ключа  $K$ . Після завершення квантової передачі, у випадку відсутності атаки, замість передачі матриць  $M_i$  буде передаватись ключ  $K$  звичайним каналом зв'язку.

У п.2 даної роботи описано принцип роботи розробленого генератора тритових послідовностей, який пропонується використовувати у цьому методі підсилення секретності для генерування ключової послідовності  $k_i$ . При необхідності він може бути змінений на інший.

Загальна схема запропонованого неквантового методу підсилення безпеки пінг-понг протоколу з парами повністю переплутаних кутритів наведена на рис. 1.

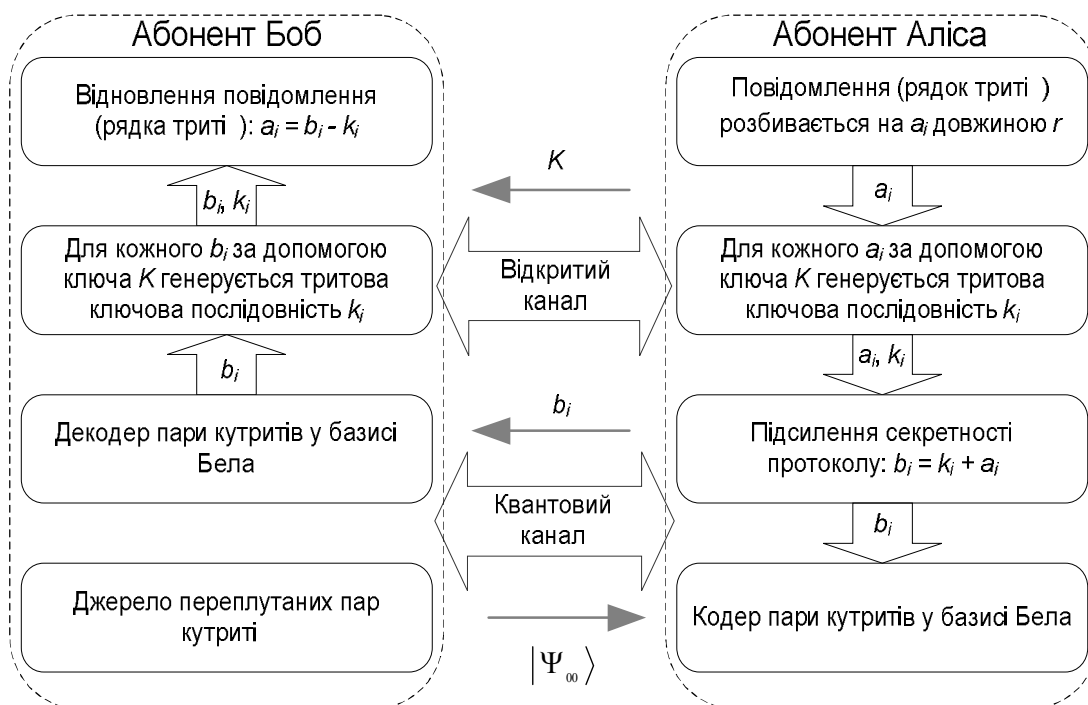


Рис.1. Загальна схема запропонованого методу підсилення безпеки пінг-понг протоколу з парами повністю переплутаних кутритів

Проаналізуємо швидкість роботи існуючого [9] та запропонованого методу підсилення секретності пінг-понг протоколу. Нехай необхідно передати за допомогою пінг-понг протоколу повідомлення довжиною  $m = r \cdot l$  – трит, де  $r$  – розмір блоку даних, а  $l$  – кількість таких блоків. Позначимо як  $t_1$  – час генерування ключових даних. Для існуючого методу підсилення секретності – час генерування оборотних матриць  $M_i$  ( $i = \overline{1, l}$ ) розміром  $r \times r$ , а для запропонованого – час генерування ключової послідовності  $k_i$  розміром  $r$ . Тоді  $t_2$  – час утворення повідомлення  $b_i$ , а  $t_3$  – час передачі повідомлень  $b_i$  по квантовому каналі за пінг-понг протоколом. Позначимо як  $t_4$  – час передачі оборотних матриць  $M_i$  по класичному каналі для існуючого методу підсилення секретності, а для запропонованого – час передачі 96 тритового ключа  $K$ . Час утворення оборотних матриць  $M_i^{-1}$  для існуючого методу підсилення або час генерування ключової послідовності  $k_i$  розміром  $r$  для запропонованого методу підсилення секретності позначимо як  $t_5$ . Тоді  $t_6$  – час відновлення повідомлення  $a_i$ . У табл. 2. розраховано  $t_j$  ( $j = \overline{1, 6}$ ) в залежності від швидкості генерування тритових послідовностей  $V_{gen}$ , швидкостей передачі повідомлень квантовим  $V_{kv}$  і класичним каналом  $V_{kl}$  та швидкості виконання операцій множення та додавання в полі  $GF(3)$   $V_x$ .

Загальний час роботи системи

Таблиця 2

Методи підсилення безпеки пінг-понг протоколу	$t_1$ , сек	$t_2$ , сек	$t_3$ , сек	$t_4$ , сек	$t_5$ , сек	$t_6$ , сек
Існуючий	$\frac{l \cdot r^2}{V_{gen}}$	$\frac{l \cdot (2r^2 - r)}{V_x}$	$\frac{l \cdot r}{V_{kv}}$	$\frac{l \cdot r^2}{V_{kl}}$	$\frac{l \cdot (4r^3 - 4r^2)}{V_x}$	$\frac{l \cdot (2r^2 - r)}{V_x}$
Запропонований	$\frac{l \cdot r}{V_{gen}}$	$\frac{l \cdot r}{V_x}$	$\frac{l \cdot r}{V_{kv}}$	$\frac{96}{V_{kl}}$	$\frac{l \cdot r}{V_{gen}}$	$\frac{l \cdot r}{V_x}$

Швидкість роботи кожного з методів буде визначатися за такою формулою:

$$V = \frac{r \cdot l}{t_1 + t_2 + t_3 + t_4 + t_5 + t_6} \text{ трит/сек.}$$

Оскільки швидкість роботи протоколу залежить від  $V_{gen}$ ,  $V_{kv}$ ,  $V_{kl}$ ,  $V_x$ ,  $r$  та  $l$ , то для більш конкретної оцінки швидкостей обох методів підсилення було вирішено провести моделювання роботи протоколу з різними показниками  $V_{gen}$ ,  $V_{kv}$ ,  $V_{kl}$ ,  $V_x$ ,  $r$  та  $l$ . Для цього була запропонована модель, яка складається таких етапів:

1. На початку фіксуються базові параметри протоколу:  $V_{kv}$ ,  $V_{kv}$ ,  $V_x$ ,  $V_{gen}$ .
2. Обирається не квантовий спосіб підсилення безпеки пінг-понг протоколу.
3. Обирається довжина повідомлення  $m$  ( $10^4$ ,  $10^5$ ,  $10^6$ ) у тритах.
4. Обирається параметр  $r$  (4, 12, 20) та розраховується параметр  $l$ .
5. Після чого для обраних параметрів  $V_{gen}$ ,  $V_{kv}$ ,  $V_{kl}$ ,  $V_x$ ,  $r$  та  $l$  розраховується

загальна швидкість роботи пінг-понг протоколу, яку заносять у таблицю для подальшої обробки.

Результати моделювання наведені в табл. 3, причому для моделювання роботи протоколу обрано 5 різних комбінацій параметрів  $V_{gen}$ ,  $V_{kv}$ ,  $V_{kl}$ ,  $V_x$ :

1.  $V_{gen} = 10^8$  трит/сек,  $V_{kl} = V_x = V_{kv} = 10^6$  трит/сек.
2.  $V_x = 10^8$  трит/сек,  $V_{kl} = V_{gen} = V_{kv} = 10^6$  трит/сек.
3.  $V_{kv} = 10^8$  трит/сек,  $V_{kl} = V_x = V_{gen} = 10^6$  трит/сек.
4.  $V_{kl} = 10^8$  трит/сек,  $V_{gen} = V_x = V_{kv} = 10^6$  трит/сек.
5.  $V_{gen} = V_{kl} = V_x = V_{kv} = 10^6$  трит/сек.

Швидкість роботи методів підсилення секретності в трит/сек

Таблиця 3

Комбінація параметрів	Методи підсилення	$m = 10000$ трит			$m = 100000$ трит			$m = 1000000$ трит		
		$r = 4, l = 2500$	$r = 12, l = 834$	$r = 20, l = 500$	$r = 4, l = 25000$	$r = 12, l = 8334$	$r = 20, l = 5000$	$r = 4, l = 250000$	$r = 12, l = 83334$	$r = 20, l = 50000$
1	Існ.	14916	1703	617	14916	1703	617	14916	1703	617
	Запроп.	330076	33076	33076	331020	331020	331020	331115	331115	331115
2	Існ.	103950	32530	17550	103950	32530	17550	103950	32530	17550
	Запроп.	330076	330076	330076	331020	331020	331020	331115	331115	331115
3	Існ.	14263	1672	610	14263	1672	610	14263	1672	610
	Запроп.	248780	248781	248781	249316	249316	249316	249370	249370	249370
4	Існ.	14916	1703	617	14916	1703	617	14916	1703	617
	Запроп.	199996	199996	199996	199999	199999	199999	199999	199999	199999
5	Існ.	14084	1669	610	14084	1669	610	14084	1669	610
	Запроп.	199616	199617	199616	199961	199961	199961	199996	199996	199996

Як видно з табл. 3 при збільшенні параметра  $r$  швидкість запропонованого методу підсилення секретності не змінюється, а швидкість методу [9] зменшується у 6-24 рази (в залежності від параметрів  $V_{gen}, V_{kv}, V_{kl}, V_x$ ). При збільшенні параметру  $l$  швидкості методів практично не змінюються. Швидкість роботи запропонованого методу у порівнянні з існуючим збільшується у 3 – 536 разів і залежить від параметрів  $V_{gen}, V_{kv}, V_{kl}, V_x, r$  та  $l$ . З огляду на це, можна зробити висновок, що використання запропонованого методу підсилення секретності, дозволить підвищити швидкість пінг-понг протоколу.

## 2. Генератор трійкових послідовностей

Принцип роботи розробленого генератора полягає у наступному:

1. На вхід розробленого генератора подається 96 тритовий ключ  $K$ , загальний розмір повідомлення  $m$  та розмір блоку даних  $r$ .
2. Далі розраховується параметр  $n \in Z$ , який означає, яку кількість разів необхідно використовувати циклову функцію для генерування послідовності розміром  $m : n = m/48 + 1$ .
3. Ключ  $K$  розбивається на 4 частини  $K_1, K_2, K_3, K_4$  по 24 трита.

4. За допомогою циклової функції, формується трійкова послідовність  $y_i$  ( $i = 1, \dots, n$ ). На вхід циклової функції подаються 24-тритні допоміжні змінні  $A, B, C, D, E, F, Y_1, Y_2$  (початкові значення яких наведені в табл. 4, вагові коефіцієнти тритів зростають зліва на право) та частини ключа  $K_1, K_2, K_3, K_4$ , за допомогою яких формується вихідна тритова послідовність. У цикловій функції для кожного  $i = 1, \dots, n$ , виконуються такі операції:

4.1. Розраховується нове значення  $A$ : 4.1.1.  $A = Sbox(A \langle + \rangle K_1) + D$ ;  
4.1.2.  $A = Left_{24}(MatrixMult(A), K_4)$ .

4.2. Розраховується нове значення  $B$ : 4.2.1.  $B = Sbox(B + K_2) \langle + \rangle E$ ;  
4.2.2.  $B = Right_{24}(MatrixMult(B), K_3)$ .

4.3. Розраховується нове значення  $C$ : 4.3.1.  $C = Sbox((C \langle + \rangle F) + Y_2)$ ;  
4.3.2.  $C = Left_{24}(MatrixMult(C), D)$ .

4.4. Розраховується нове значення  $K_1$ : 4.4.1.  $K_1 = Sbox(K_1 + A) \langle + \rangle E$ ;  
4.4.2.  $K_1 = Sbox(MatrixMult(K_1) + Y_1)$ .

4.5. Розраховується нове значення  $K_2$ : 4.5.1.  $K_2 = Sbox(K_2 \langle + \rangle B) \langle + \rangle F$ ;  
4.5.2.  $K_2 = Sbox(MatrixMult(K_2) + Y_2)$ .

4.6. Розраховується нове значення  $Y_1$ : 4.6.1.  $Y_1 = Sbox(Y_1 \langle + \rangle K_1)$ ;  
4.6.2.  $Y_1 = MatrixMult(Left_{24}(Y_1, B))$ ; 4.6.3.  $Y_1 = Sbox(Y_1 + K_2)$ .

4.7. Розраховується нове значення  $D$ : 4.7.1.  $D = Sbox(D \langle + \rangle K_3) + A$ ;  
4.7.2.  $D = Left_{24}(MatrixMult(D), K_2)$ .

4.8. Розраховується нове значення  $E$ : 4.8.1.  $E = Sbox(E + K_4) \langle + \rangle B$ ;  
4.8.2.  $E = Right_{24}(MatrixMult(E), K_1)$ .

4.9. Розраховується нове значення  $F$ : 4.9.1.  $F = Sbox((F \langle + \rangle C) + Y_1)$ ;  
4.9.2.  $F = Left_{24}(MatrixMult(F), A)$ .

4.10. Розраховується нове значення  $K_3$ : 4.10.1.  $K_3 = Sbox(K_3 + D) \langle + \rangle B$ ;  
4.10.2.  $K_3 = Sbox(MatrixMult(K_3) + Y_2)$ .

4.11. Розраховується нове значення  $K_4$ : 4.11.1.  $K_4 = Sbox(K_4 \langle + \rangle E) \langle + \rangle C$ ;  
4.11.2.  $K_4 = Sbox(MatrixMult(K_4) + Y_1)$ .

4.12. Розраховується нове значення  $Y_2$ : 4.12.1.  $Y_2 = Sbox(Y_2 \langle + \rangle K_3)$ ;  
4.12.2.  $Y_2 = MatrixMult(Left_{24}(Y_2, E))$ ; 4.12.3.  $Y_2 = Sbox(Y_2 + K_4)$ .

4.13. Розраховується 48-тритне значення  $y_i$  за допомогою конкатенації  $Y_1$  та  $Y_2$ :  
 $y_i = Y_1 | Y_2$ .

5. З утвореної послідовності  $y_i$  ( $i = 1, \dots, n$ ) формується послідовність довжиною  $m$ .

Отримана послідовність розділяється на  $l$  блоків довжиною  $r$ , які і утворять вихідну ключову послідовність тритів  $k_j$  ( $j=1, \dots, l$ ).

Початкові значення змінних  $A, B, C, D, E, F, Y_1, Y_2$

Таблиця 4

$A$	012012012012012012021	$D$	211020112200201220101012
$B$	122010120022012112021010	$E$	020211221022101021012100
$C$	221102101201120100210202	$F$	100120201101122112002022
$Y_1$	022102012010211212100102	$Y_2$	212001020110212021001212

Опишемо операції, які використовуються в запропонованому генераторі:

1. Операція "+" – потритове додавання за модулем 3.
2. Операція "<+" – додавання за модулем  $3^{24}$ .
3.  $Right_{24}(X, Y)$  – циклічний зсув вправо числа  $X$  на  $Y$  разів.
4.  $Left_{24}(X, Y)$  – циклічний зсув вліво числа  $X$  на  $Y$  разів.

5.  $Sbox(X)$  – нелінійна заміна кожних шести тритів числа  $X$  на відповідне їм значення таблиці підстановок. Для виконання операції число  $X$  розбивається на чотири частин по 6 тритів  $x_i$  ( $i=0, \dots, 3$ ). Виконання заміни через таблицю підстановок полягає в тому, що значення  $x_i$  задає адресу в таблиці підстановки, по якій необхідно взяти нове значення  $x_i$ . Запропонований  $S$ -блок побудований за допомогою обрахунку зворотного елемента поля  $(X)^{-1} \in GF(3^6)$  з подальшим виконанням афінного перетворення над полем  $GF(3)$ :  $S(X) = M \cdot (X)^{-1} + V$ , де  $X, V \in GF(3^6)$ , а  $M$  – квадратна не вироджена матриця над полем  $GF(3)$  розміром  $6 \times 6$  (вагові коефіцієнти тритів зростають зверху до низу і зліва на право, тобто елемент  $M[0][0]$ , який знаходиться в верхньому лівому куті, відповідає молодшому розряду):

$$M = \begin{pmatrix} 1 & 2 & 0 & 1 & 1 & 2 \\ 2 & 1 & 2 & 0 & 1 & 1 \\ 1 & 2 & 1 & 2 & 0 & 1 \\ 1 & 0 & 2 & 1 & 2 & 0 \\ 0 & 1 & 0 & 2 & 1 & 2 \\ 2 & 0 & 1 & 1 & 2 & 1 \end{pmatrix}, V = \begin{pmatrix} 0 \\ 2 \\ 2 \\ 1 \\ 0 \\ 2 \end{pmatrix}.$$

Кінцеве поле  $GF(3^6)$  фіксується кільцем многочленів з операціями за модулем незвідного многочлена  $m(x) = x^6 + x + 2$ .

6.  $MatrixMult(X)$  – множення трійкової матриці  $Mat$  розміром  $24 \times 24$  трита на  $X$  (представлений у вигляді стовпчика) над полем  $GF(3)$ , дана матриця побудована на основі такого закону:  $Mat[i][j] = U[(j + 24 - i) \bmod 24]$ , де  $i, j = 0, \dots, 23$ , а масив  $U = \{ 1, 0, 2, 2, 1, 0, 2, 0, 1, 1, 1, 2, 0, 1, 2, 1, 0, 2, 0, 0, 1, 2, 0, 2 \}$ .





2. Cai Q.-Y. Improving the capacity of the Bostrom-Felbinger protocol / Q.-Y. Cai, B.-W. Li // *Physical Review A*. — 2004. — V. 69, issue 5. — 054301.
3. Нильсен М. Квантовые вычисления и квантовая информация / М. Нильсен, И. Чанг // — М. : Мир, 2006. — 824 с.
4. Quantum Secure Telecommunication Systems / [Oleksandr Korchenko, Petro Vorobiyenko, Maksym Lutskiy, Yevhen Vasiliu, Sergiy Gnatyuk] // *Telecommunications Networks : Current Status and Future Trends* / edited by Jesus Hamilton Ortiz. — Rijeka, Croatia : InTech, 2012. — P. 211-236.
5. Василю Е.В. Пинг-понг протокол с трех- и четырехкубитными состояниями Гринбергера-Хорна-Цайлингера / Е.В. Василю, Л.Н. Василю // *Труды Одесского политехнического университета*. — 2008. — Вып. 1(29). — С. 171-176.
6. Васіліу С.В. Пінг–понг протокол з повністю переплутаними станами пар та триплетів тривимірних квантових систем / С.В. Васіліу // *Цифрові технології*. — 2009, № 5. — С. 18-26.
7. Ostermeyer M. On the implementation of a deterministic secure coding protocol using polarization entangled photons / M. Ostermeyer, N. Walenta // *Optics Communications*. — 2008. — V. 281, issue 17. — P. 4540-4544.
8. Wang Ch. Quantum secure direct communication with high dimension quantum superdense coding / Ch. Wang, F.-G. Deng, Y.-S. Li [et al] // *Physical Review A*. — 2005. — V. 71, issue 4. — 044305.
9. Василю Е.В. Синтез основанной на пинг-понг протоколе квантовой связи безопасной системы прямой передачи сообщений / Е.В. Василю, С.В. Николаенко // *Наукові праці ОНАЗ ім. О.С. Попова*. — 2009, № 1. — С. 83-91.
10. Корченко О.Г. Імітаційна модель пінг-понг протоколу з парами переплутаних кутритів у квантовому каналі з шумом / О.Г. Корченко, С.В. Васіліу, С.О. Гнатюк, В.М. Кінзерявий // *Захист інформації*. — 2010. — №3. — С. 46-56.
11. Василю Е.В. Анализ атаки пассивного перехвата на пинг-понг протокол с полностью перепутанными парами кутритов / Е.В. Василю, Р.С. Мамедов // *Восточноевропейский журнал передовых технологий*. — 2009, № 4/2 (40). — С. 4-11.
12. Zhang Zh.-J. Improved Wojcik's eavesdropping attack on ping-pong protocol without eavesdropping-induced channel loss / Zh.-J. Zhang, Y. Li, Zh.-X. Man // *Physics Letters A*. — 2005. — V. 341, issue 5-6. — P. 385-389.
13. Cai Q.-Y. The «Ping-pong» protocol can be attacked without eavesdropping / Q.-Y. Cai // *Physical Review Letters*. — 2003. — V. 91, issue 10. — 109801.
14. Deng F.-G. Two-step quantum direct communication protocol using the Einstein-Podolsky-Rosen pair block / F.-G. Deng, G.L. Long, X.-S. Liu // *Physical Review A*. — 2003. — V. 68, issue 4. — 042317.
15. Василю Е.В. Стойкость пинг-понг протокола с триплетами Гринбергера-Хорна-Цайлингера к атаке с использованием вспомогательных квантовых систем / Е.В. Василю // *Информатика: Объединенный институт проблем информатики НАН Беларуси*. — 2009, № 1 (21) — С. 117-128.
16. Корченко О.Г. Імітаційне моделювання роботи системи квантового прямого безпечного зв'язку із застосуванням завадостійких кодів для кутритів / О.Г. Корченко, С.В. Васіліу, С.О. Гнатюк, В.М. Кінзерявий // *Захист інформації*. — 2011. — №2 (51). — С. 61-69.

Надійшла: 12.05.2012

Рецензент: д.т.н., проф. Корченко О.Г.